

半导体物理实验

刘士毅 黄永宝 吴伯儒 编

高等教育出版社

本書是根据北京大学、复旦大学、厦门大学、南京大学、吉林大学(原东北人民大学)五校联合半导体物理專門化前几年进行过的一些半导体物理實驗內容編寫的，書中主要介紹半导体材料和某些典型器件的电磁和光电測量方法。可作为高等学校半导体物理課的教学参考書，亦可供有关的科学工作者参考。

半 导 体 物 理 实 驗

刘士毅 黄永宝 吴伯康編

高等教育出版社出版北京皇武門內承恩寺7号

(北京市新刊出版业营业登记证字第054号)

京华印書局印裝 新華書店發行

统一書号13010·629 冊本 850×1168 1/16 印張4 14/16

字數 111,000 印數 0001—8,000 定價(6) ￥0.55

1959年7月第1版 1959年7月北京第1次印刷

序

本書所介紹的是北京大学、复旦大学、厦门大学、南京大学和吉林大学(原东北人民大学)五校联合半导体物理專門化在1956—1958年間进行的一部分半导体物理實驗的內容。所介紹的項目主要是測定和研究半导体某些基本性質和現象的實驗方法，对于有关的原理也做了相当詳細的闡述。

目前，所有学校都正在貫徹党的教育方針取得巨大胜利的基础上进行着全面而深入的改革。半导体物理課程究竟应当如何設置，現在还是一个正在深入解决中的問題，所以，特別需要強調地指出，介紹过去的这些實驗，目的乃在于介紹一些典型的實驗方法，而不是为了提供关于課程設置的經驗。

本書的內容是有关的教师和一些同学在去年国庆节献礼科研跃进运动的極端緊張的工作中，根据原来的講义在很倉促的时间內整理出来的。有些實驗本来就不十分成熟的，在整理过程中又沒有能够仔細总结和改进；尽管如此，正值目前我国半导体事业正在極为广大而且迅速地开展起来的时候，希望在这里提供的資料能够产生一些积极的作用。

本書的执笔者是刘士毅、黃永宝、吳伯僖等同志，并由教学实验室主任刘士毅同志主持编写工作。

北京大学半导体物理教研室

黃 昆 1959年

目 录

序	iv
實驗一 鋯的霍耳系数和電導率的測量	1
實驗二 鋯的溫差電動勢率的測量	12
實驗三 用非穩定態方法測量硫化鉛的熱導率	19
實驗四 鋯中少數載流子的擴散長度、壽命和漂移遷移率的測量	30
實驗五 用光注入法測量少數載流子的擴散長度	43
實驗六 半導體光电實驗的前言	51
實驗七 氧化亞銅的吸收光譜	62
實驗八 氧化亞銅的光电導的光譜分布	65
實驗九 氧化亞銅光电導載流子弛豫時間的測量	70
實驗十 硒光电池的製造和測量	74
實驗十一 鋯的光磁效應和非平衡載流子复合壽命的測量	82
實驗十二 电致發光現象的觀察	88
實驗十三 磷光体的加热發光	101
實驗十四 半導體整流效应的介紹	107
實驗十五 用零壓電阻的方法測量整流器的勢壘	115
實驗十六 整流器電容的測量	119
實驗十七 晶体三極管特性的介紹	123
實驗十八 晶体三極管低頻小訊號參數的測量	133
實驗十九 晶体三極管的頻率特性	140
實驗二十 點接觸型三極管的負阻特性	145

实验一 铑的霍耳系数和电导率的测量

一、目的 测定铑的霍耳系数和电导率，并由此确定铑载流子的符号、浓度、霍耳迁移率以及铑的禁带宽度。

二、原理

1. 基本原理 从霍耳系数和电导率的测定中可以确定半导体的类型、载流子的浓度和霍耳迁移率、禁带宽度、杂质密度和杂质能级的位置(由于时间的关系，本实验对后二者不进行计算)。这些对于半导体电学性质的研究具有重要的意义。

一块宽为 a 厚为 b 的半导体(图 1.1)，若在它的 x 方向上有均匀的电流 I 流过，在 z 方向上加一磁场 B ，那么，在这块半导体的 AB 两点间(即 y 方向上)产生一电位差 $V_A - V_B$ ，这现象叫做霍耳效应。我们给霍耳系数以下式的定义：

$$R = \frac{E_y}{i_x B_z} \cdot 10^8 = \frac{(V_A - V_B)b}{IB} \cdot 10^8, \quad (1)$$

上式中的 10^8 系由于我们对磁场强度采用电磁单位(高斯)，而其他各量都采用 C. G. S. 实用单位而引入的。

在球形等能面载流子服从经典统计，并只计及晶格热振动散射的条件，对于电子空穴混合导电的半导体，可以证明

$$R = \frac{3\pi}{8e} \cdot \frac{p\mu_p^2 - n\mu_n^2}{(p\mu_p + n\mu_n)^2}, \quad (2)$$

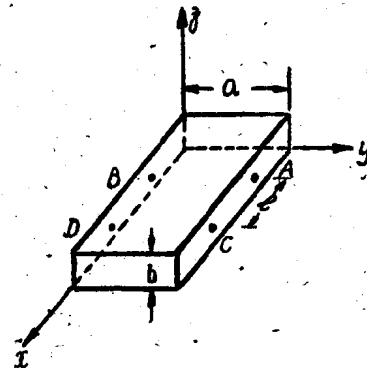


图 1.1

对于 n 型半导体，(2)式可简化为

$$R = -\frac{3\pi}{8} \cdot \frac{1}{ne}; \quad (3)$$

对于 p 型半导体，则(2)式简化为

$$R = \frac{3\pi}{8} \cdot \frac{1}{pe}. \quad (4)$$

在(2)(3)(4)式中， n 和 p 各表示电子和空穴的浓度， μ_n 和 μ_p 各表示电子和空穴的迁移率。

n 型锗(内含杂质砷)的霍耳系数和绝对温度的倒数的关系一般如图 1.2 所示。^[3]

曲线中的 AB 和 $A'B'$ 部分，霍耳系数减小相应于温度升高，由施主能级跃迁到导带中的电子数目增加。曲线中的 BC 部分差不多是一水平线，是由于 55 号样品比较纯，施主能级中电子浓度比较小，在这一段温度范围内电子差不多都已由施主能级跃迁到导带中去了，因而表现出温度

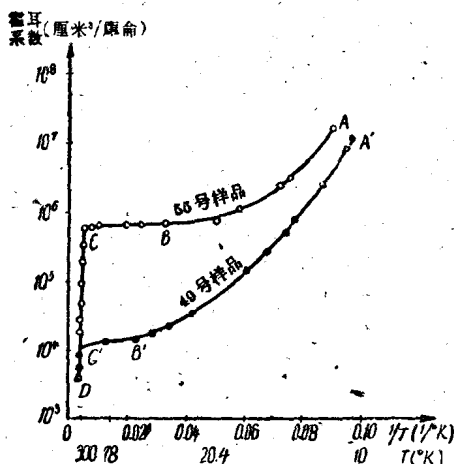


图 1.2

升高导带中电子浓度不增大的饱和现象，此时施主能级中的电子浓度 N_D 差不多与导带中的电子浓度 n 相等。由公式(3)得 55 号样品的施主能级中的电子浓度约为 1.0×10^{13} 个/厘米³。

当 n 型半导体中受主能级的电子浓度 N_A 较之 N_D 不能略去不计时，导带中电子浓度与温度的关系可以下式表示：

$$\frac{n(N_A + n)}{N_D - N_A - n} = \left(\frac{2\pi m_n k T}{h^2} \right)^{3/2} e^{-E_D/kT}, \quad (5)$$

上式中 m_n 为导带中电子的有效质量, E_D 为施主能级与导带的距离。如以 $m_n = \frac{1}{4}m$, $N_D = 1.0 \times 10^{13}$ 个/厘米、 $N_A = 4.8 \times 10^{11}$ 个/厘米、 $E_D = 0.0125$ 电子伏特代入(5)式, 则得到图 1.2 中的 55 号样品的曲线, 这是一般由霍耳系数与温度的关系求杂质密度和杂质能级的位置的方法。

本征导电时霍耳系数与温度的关系: 图 1.2 中的 CD 和 $C'D'$ 部分, 当温度升高时霍耳系数迅速地减小。这是由于温度已经够高, 能使电子直接由满带跃迁到导带, 而使电子浓度和空穴浓度迅速增大的缘故。 CD 与 $C'D'$ 不但有相同的斜率, 并且在足够高的温度时两直线重合(根据其他实验证明, 如有第 3 族、第 5 族以外的杂质, 在足够高的温度也能使锗有部分重合的 $R - \frac{1}{T}$ 曲线)。这说明了不管加入杂质的种类和密度是怎样的, 由 $R - \frac{1}{T}$ 曲线知道在本征导电时都有相同的激发电能 ΔE (ΔE 为禁带宽度), 并且在足够的温度(相当于图 1.2 的 $R \sim \frac{1}{T}$ 曲线重合)时有相同的电子浓度和空穴浓度。此时锗的电学性质决定于锗的本征禁带宽度, 导带和满带的有效态密度与外加杂质的种类和密度无关, 所以叫做本征导电。

可以证明^[1], 在本征导电时

$$p \equiv n = 2 \left[\frac{2\pi(m_n m_p)^{1/2} k T}{h^2} \right]^{3/2} e^{-\frac{\Delta E}{2kT}}, \quad (6)$$

上式中 ΔE 为禁带宽度。将(6)式代入(2)式得

$$R = AT^{-3/2} e^{\frac{\Delta E}{2kT}}, \quad (7)$$

上式中 R 与温度的关系主要由指数项决定, 所以在本征导电范围, 我们可以从 $\ln R - \frac{1}{T}$ 曲线的斜率来求禁带宽度 ΔE 。

在图 1.1 中 AC 为测量电导的一对小电极, AC 间距离是 l , 半导体的横截面是 $ab = S$ 。当有均匀的电流 I 沿 x 方向流过样品时, 用电位计测得 AC 间电位差是 V_{AC} 。则电导率 σ 可从下式求得

$$\sigma = \frac{1}{\rho} = \frac{Il}{V_{AC}S}. \quad (8)$$

当本征导电时,

$$\sigma = e(n\mu_n + p\mu_p) \equiv en(\mu_n + \mu_p). \quad (9)$$

在本征导电时晶体的晶格散射起主要作用, μ 与 $T^{-3/2}$ 成正比。由(6)和(9)知道, 此时

$$\sigma = C e^{-\frac{\Delta E}{2kT}}. \quad (10)$$

所以在本征导电时由 $\ln \sigma - \frac{1}{T}$ 曲线的斜率也可以求出禁带宽度 ΔE 。

当杂质导电时, 对于 n 型半导体只有导带中的电子在导电, 此时

$$\sigma = ne\mu_n. \quad (11)$$

从(3)式知道, 由霍耳系数的测量可以求出导带中的电子浓度(严格说来, 在杂质导电时, 除晶格散射外尚须计及杂质散射, 此时(3)式中系数不再是 $\frac{3\pi}{8}$ 了。但由于差别不大, 一般计算仍可近似地应用 $\frac{3\pi}{8}$ 做系数)。

合并(3)式和(11)式, 可求得电子的霍耳迁移率 μ_H ,

$$\mu_H = |R| \sigma = \frac{3\pi}{8} \mu_n. \quad (12)$$

同样在杂质导电时, p 型半导体只有满带中的空穴在导电, 此时

$$\sigma = pe\mu_p. \quad (13)$$

用(4)式可求得空穴浓度。由(4)式和(13)式可求得空穴的霍耳迁移率,

$$\mu_H = R\sigma = \frac{3\pi}{8} \mu_p. \quad (14)$$

2. 本征导电的温度范围的估计 本征导电的条件如前所述是

$$p \ll n \gg N_D$$

$$\text{或 } np \gg N_D^2. \quad (14)$$

本实验所用的样品在室温时的电阻率 $\rho = 10$ 欧姆·厘米。从这一数据及(14)式可对本征导电的温度范围作如下估计。我们知道^[1]，电子浓度 n 与空穴浓度 p 的乘积只是温度的函数，与所加杂质的种类和密度无关，可以下式表示：

$$np = 4 \left(\frac{2\pi m_n kT}{h^2} \right)^{3/2} \left(\frac{2\pi m_p kT}{h^2} \right)^{3/2} e^{-\frac{\Delta E}{kT}}. \quad (15)$$

以铜的数据代入得^[4]

$$np = 9.3 \times 10^{31} T^3 e^{-\frac{8700}{T}}. \quad (16)$$

在室温时，铜的电阻率大于几欧姆·厘米，且以晶格散射为主，此时迁移率与温度的关系可以下式表示：^[4]

$$\mu_n = 19 \times 10^6 T^{-3/2}, \quad \mu_p = 8.9 \times 10^6 T^{-3/2}. \quad (17)$$

将迁移率和 e 的值代入电导率公式，得

$$\sigma = \frac{1}{\rho} = 3.0 \times 10^{-12} T^{-3/2} n + 1.4 \times 10^{-12} T^{-3/2} p. \quad (18)$$

室温时 $\rho = 10$ 欧姆·厘米，以 $T = 300^\circ\text{K}$ 代入(16)和(18)两式求得：

$$\begin{cases} n_1 = 2.2 \times 10^{12} \text{ 个}/\text{厘米}^3, \\ p_1 = 3.8 \times 10^{11} \text{ 个}/\text{厘米}^3, \end{cases} \quad \begin{cases} n_2 = 1.7 \times 10^{14} \text{ 个}/\text{厘米}^3, \\ p_2 = 3.8 \times 10^{12} \text{ 个}/\text{厘米}^3. \end{cases}$$

n_1 、 p_1 的数值适用于 p 型铜，对于 n 型铜则应采用 n_2 、 p_2 的数值。由图 1.2 我们知道电阻率为 10 欧姆·厘米的铜在室温下已达杂质导电饱和状态，即施主杂质差不多已全部离化，这时

$$N_D = n = p = n_2 = p_2 = 1.7 \times 10^{14} \text{ 个}/\text{厘米}^3.$$

以不同的 T 值代入(16)式可求出一系列对应的 np 值, 如表 1.1 所示。

表 1.1

温度 $T(^{\circ}\text{K})$	350	400	450	500
$np(\text{个}^2/\text{厘米}^6)$	7.3×10^{28}	2.2×10^{30}	3.6×10^{31}	3.2×10^{32}

由表知, 在 $T = 450^{\circ}\text{K}$ 时, $np = 3.6 \times 10^{31} \text{ 个}^2/\text{厘米}^6 \gg (1.7 \times 10^{14})^2 \text{ 个}^2/\text{厘米}^6 = N_D^2$, 已达本征导电的情况。

钨的本征导电范围在 $\ln R - \frac{1}{T}$ 及 $\ln \sigma - \frac{1}{T}$ 曲线中都可以很清楚地看出来, 但有时要求在做实验前估计本征导电的范围, 故在这里举例说明。

在本征导电的范围内, 通过霍耳系数和电导率的测量, 我们可以得到前述的两个关系式:

$$\left\{ \begin{array}{l} R = \frac{3\pi}{8e} \frac{p\mu_p^2 - n\mu_n^2}{(p\mu_p + n\mu_n)^2} \\ \sigma = e(n\mu_n + p\mu_p). \end{array} \right. \quad (2)$$

$$(9)$$

但仅仅依靠这两个方程式, 我们不能求 n 、 p 、 μ_n 和 μ_p 四个未知数。为了要求得这四个未知数, 可再引入(16)式和本征导电条件 $n = p$ 两个方程式, 即从

$$n^2 = 9.3 \times 10^{31} T^3 e^{-\frac{8700}{T}}$$

求得 n 和 $p (= n)$, 代入(2)式和(9)式再求得 μ_n 和 μ_p 。

3. 实验中的副效应及其消除法^[6] 为了理解副效应的来源, 先介绍一下钨样品上各电极的制法。为了使金属与 n 型钨间尽量是欧姆接触, 以减小副效应, 我们采用先在电极处镀上镍, 再用焊锡焊上的方法。为了使(在电磁场不加上去时)电流方向和 x 轴平行(见图 1.1), 即等位面和 yz 面平行, 我们必需在钨的两端(平行

yz 的平面) 均匀地镀上镍(見圖 1.3), 再用焊錫焊上。霍耳電極(即電位電極) AB (或 CD) 必須對準, 鎔上線小點或平行 z 軸的線直線, 然後再用焊錫焊上。

由於銅樣品兩端的電流電極不能是理想的歐姆接觸以及銅樣品兩邊的電位電極和銅不是同一材料, 所以在測量過程中, 會有熱電現象和溫差電現象發生以及由此而引起的其他副效應。現在分別討論如下。

热电效应: 当电流沿 x 方向流过銅樣品时(見圖 1.1), 由于樣品两端的电流電極和銅的接触电阻不同, 因而在樣品两端产生不同的焦耳热, 樣品两端的溫度就不同, 因而有热流 Q 流过樣品。 Q 与 I 的方向无关。

溫差电效应: 由于各電位電極與銅接觸處的溫度不同, 則在 AB 两處之間就有電位差產生, 在溫差不太大時這電位差與溫差成正比。

理解了热电效应及溫差电效应后, 可以研究以下各副效應。

1) **厄庭好森效应 (Ettingshausen Effect)**。樣品在 x 方向的电流 I 和 z 方向的磁場 B 的作用下, 在它的 y 方向产生溫度差, 这溫差

$$T_A - T_B \propto IB.$$

这溫差将引起沿 y 方向的電位差, 其数值以 V_E 表示, 因而 V_E 也与 IB 成正比, V_E 的符号与 IB 的方向有关。

2) **里紀-勒杜克效应 (Righi-Leduc Effect)**。樣品在 x 方向的热流 Q 和 z 方向的磁場 B 的作用下在它的 y 方向产生溫度差, 这溫差

$$T_A - T_B \propto QB.$$

同理由里紀-勒杜克效应产生電位差 $V_{RL} \propto QB$, 其符号和 B 的方向有关, 和 I 的方向无关。

3) **能斯脱效应 (Nernst Effect)**。樣品在 x 方向的热流 Q 和

\mathbf{z} 方向的磁场 B 的作用下, 在它的 y 方向产生电位差, 这电位差

$$V_N \propto QB,$$

V_N 的符号与 B 的方向有关, 和 I 的方向无关。

4) 电压降 V_0 。我們很难做到使两对电位电极 A 、 B 和 C 、 D 都在一理想等位面上(圖 1.3), 因此即使在磁场未加上去前, 就有

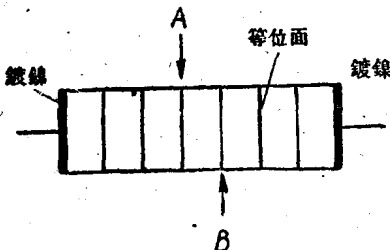


圖 1.3

一电压降 $V_0 = IR$ 产生, 其中 R 为 A 、 B 所在二等位面間的电阻。在测量霍耳电位差 V_H 时电位差 V_0 会叠加上去的。一般說起来半导体的电阻率比較大, 因此 V_0 很可能与 V_H 有相同数量級。 V_0 的符号与

I 的方向有关, 与 B 的方向无关。

我們可以改变 I 和 B 的方向使 V_0 、 V_N 和 V_{RL} 从計算結果中消去, V_E 与 V_H 同样地随 IB 的方向改变而改变, 但用改变直流磁场、直流电流的方法不能在計算結果中使 V_E 自 V_H 中消去。一般, 由 V_E 所引起的誤差約在 5% 左右。

實驗時我們測量下列四組数据:

如在样品上加 $+B$ 、 $+I$ 时, 在 AB 端所得的电位差

$$V_1 = +V_H + V_E + V_{RL} + V_N + V_0,$$

如在样品上加 $+B$ 、 $-I$ 时, 在 AB 端所得的电位差

$$V_2 = -V_H - V_E + V_{RL} + V_N - V_0,$$

如在样品上加 $-B$ 、 $-I$ 时, 在 AB 端所得的电位差

$$V_3 = +V_H + V_E - V_{RL} - V_N - V_0;$$

如在样品上加 $-B$ 、 $+I$ 时, 在 AB 端所得的电位差

$$V_4 = -V_H - V_E - V_{RL} - V_N + V_0.$$

由此可得

$$V_H + V_E = \frac{V_1 - V_2 + V_3 - V_4}{4}, \quad (19)$$

实验时我们应该改变电流和磁场的方向，以测量电位差值 V_1, V_2, V_3 和 V_4 ，然后求它们的代数平均值。这样做可以免除由里紀-勒杜克效应、能斯脱效应和电位电极不在同一等位面上所引入的误差。但对由厄庭好森效应所引入的误差还是不能除去。

厄庭好森效应是通过温度差的产生而体现的。如果我们用交流磁场、交流电流（通过样品的电流）来进行测量，则在一般情况下，厄庭好森温度差是来不及产生的^[6]。因此采用交流来测量霍耳电位差，可以避免由厄庭好森电位差所引入的误差。采用交流测量还有一好处，即霍耳电位差可用电表读出或用自动记录仪记录下来，这在观察霍耳电位差和温度的关系时，有快速测量和可以連續自动记录的优点。

三、实验方法

1. 加热设备 为了能改变样品的温度，我们将样品放在紫铜做的套子里，外包以云母后，再绕以加热用的电阻丝。套子下端接有一根细德银管。整个铜套放在盛有液体空气的杜瓦瓶中（液体空气只浸及德银管不浸及紫铜套）。这样可把电阻丝通电，以改变样品的温度。

2. 磁场强度的测量 用磁通量表测磁场强度最为简便，但所引入的误差较大。我们现在采用冲击电流计来测磁场强度，并加以校对。关于冲击电流计的校对方法，大家在中级物理实验已经学过，这里仅把所用公式列出，以供参考（图 1.4）。

(1) 用互感为 M 的标准互感器进行校对，

$$\frac{BS'N'}{MI \times 10^8} = \frac{\alpha_1}{\alpha_2}. \quad (20)$$

(2) 用自绕标准互感器进行校对

$$\frac{BS'N' \times 10^9}{4\pi nS''N''I \times 10^8} = \frac{BS'N'}{0.4\pi nS''N''I} = \frac{\alpha_1}{\alpha_2}. \quad (21)$$

和以前一样除磁场强度 B 采用高斯为单位外，其他单位都采用 C.G.S. 实用单位。上二式中， B 是磁场强度， N' 和 S' 是测磁场强度的线圈的圈数和截面积， M 是标准互感器的互感量， I 是标

准互感器的初级线圈中电流的改变， α_1 是当测磁场的线圈中的磁场强度由 B (单位为高斯) 改为零时，引起冲击电流计的偏转， α_2 是当标准互感器初级线圈中电流改变为 I 时，所引起冲击电流计的偏转 (如用换向开关使电流由 $+I_1$ 改变为 $-I_1$ ，则

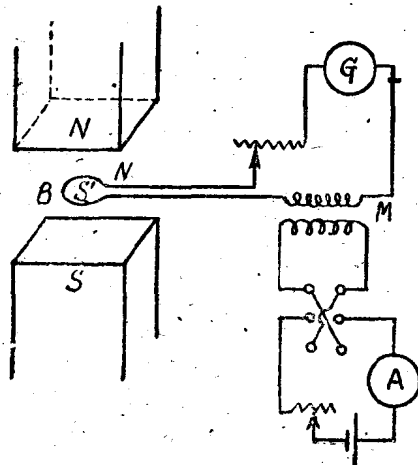


图 1.4

应该用 $2I_1$ 代入上二式中的 I)。

自绕标准互感器的制法：在一细长 (长度比直径大 10 倍以上) 的胶木管上均匀地绕以一层初级线圈， n 为每单位长度中初级线圈的圈数。在初级线圈的正中部绕一短的次级线圈 (次级线圈的长度小于次级线圈的半径)，总圈数为 N'' 。如果把次级线圈绕在初级线圈之外；则 S'' 为初级线圈的截面积，此时次级线圈可以分几层绕；如果把次级线圈绕在初级线圈之内，则 S'' 为次级线圈的截面积，此时次级线圈不能太厚，否则 S'' 的计算就很复杂。

3. 测试要求 本实验测试项目较多，同学们在做实验前应熟练电位计、灵敏电流计及冲击电流计的使用方法。

本实验所用的热电偶的线很细，用时应小心，以免弄断。

问教师所用的铟样品在室温时的电阻率，估计出本征导电的范围。在液体空气温度与焊锡熔点间的温度范围内测试 σ 与 R 的（在本征导电区要多测量几点，以保证此段中 $\ln R - \frac{1}{T}$ 和 $\ln \sigma - \frac{1}{T}$ 直线能画出来）。

实验报告要求包括下列项目：(1) 铟的导电类型，(2) $\ln R - \frac{1}{T}$ 和 $\ln \sigma - \frac{1}{T}$ 曲线，(3) 禁带宽度 ΔE ，(4) 载流子浓度和温度的关系($\ln n - \frac{1}{T}$ 曲线)，(5) 本征导电范围内载流子的迁移率。

参 考 文 献

1. 黄昆和谢希德，半导体物理学。
2. A. H. 约飞，半导体物理学，黄昆、王守武、洪朝生、湯定元譯 (1958)。
3. Debyo and Conwell, "Electrical Properties of n-type Germanium", Phys. Rev., 93.4. 698-708 (1954).
4. Conwell, "Properties of Si and Ge", Proc. IRE, 40.11, 1827 (1952).
5. Lindberg, "Hall Effect", Proc. IRE, 40.11, 1414 (1952).

实验二 銻的溫差电动势率的測量

一、目的 测量不同溫度范围内 n 型銻的溫差电动势率的大小及符号。

二、原理 当半导体的两端具有溫度差 ΔT 时，则在半导体

两端产生溫差电动势 ΔE (圖

2.1), ΔE 与 ΔT 的比值

$$Q = \frac{\Delta E}{\Delta T}, \quad (1)$$

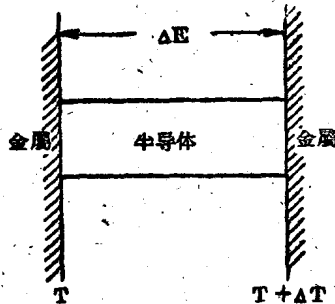


圖 2.1

Q 称为溫差电动势率，即單位溫度差时的溫差电动势。 Q 的符号視載流子的类型而定。

当溫度升高时，載流子的速度和濃度都增大，并从热端

向冷端扩散，因此在热端缺乏电荷，在冷端积累电荷，而形成一反向电場阻止載流子繼續扩散，直到扩散电流与由反向电場引起的电荷移动相平衡为止。如为 n 型半导体，在冷端积累负电荷，故冷端的电动势較热端为低；如为 p 型半导体，则相反。

在金屬內載流子的速度和濃度不隨溫度改变或改变很小，因之金屬的溫差电动势率很低，大約为几微伏/度。理論計算得到 Q 的一般表示式为：

$$Q = \pm \frac{k}{e} \frac{1}{(nc + p)} \left[2(nc - p) - nc \left[\ln \frac{nh^3}{2(2\pi m_n k T)^{3/2}} \right] + p \left[\ln \frac{ph^3}{2(2\pi m_p k T)^{3/2}} \right] \right], \quad (2)$$

式中 k 为波茲曼常数, $k = 1.38 \times 10^{-16}$ 尔格/度; e 为电子电荷, $e = 4.8 \times 10^{-10}$ C. G. S. E.; c 为两种載流子迁移率之比, $c = \frac{\mu_n}{\mu_p}$, 常温下 $c = 2.1$; n 和 p 各表示电子及空穴的濃度; m_n 和 m_p 各表示电子和空穴的有效質量; Q 的單位一般用伏/度, 則 $\frac{k}{e} = 0.86 \times 10^{-4}$ 伏/度。

对 n 型半导体, Q 取負值計算, 得到的 Q 值与溫度的关系如圖 2.2 所示 (对 n 型半导体)。半导体中的 Q 值自几十微伏/度到 1000—1500 微伏/度, 較之金属的大得多了。

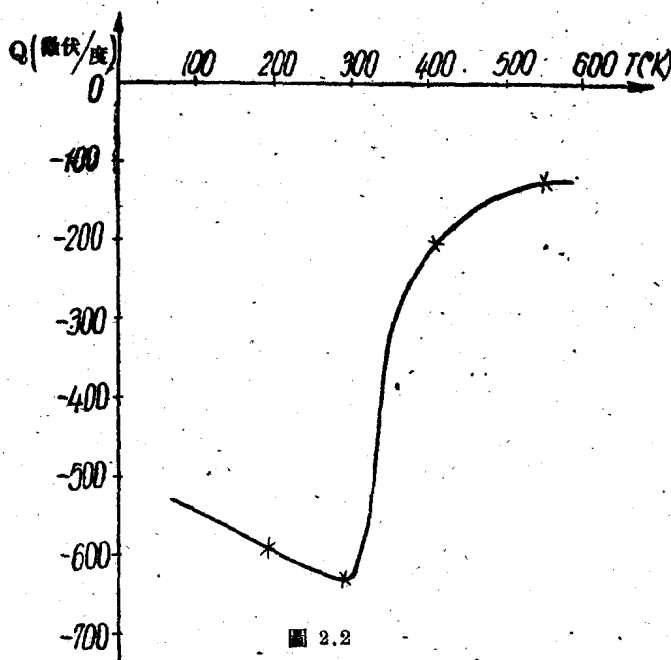


圖 2.2

利用溫差电現象可以制成溫差發电机、溫差致冷器, 与霍耳效应配合可以測量銆的有效質量 m_n 和 m_p , 还可决定其禁带寬度 ΔE 。